

偏心変断面板ならびに板とはりの完全合成構造の曲げ理論

大阪工業大学 正員 岡村宏一

1. まえがき 曲げと全時に Scheibe 効果(例えば Flangeaction 等)の存在する板と板或いは板とはりとが偏心合成される場合は実際構造物の多くの構造要素の中に種々の格間比又さまたちの合成方式或いは載荷状態のちとに見出される。このようすの場合に2次元弾性理論と平板理論を併用して厳密に解析する方法は構造物のより忠実な立体的解析を行なう上に於て広範な応用面を持つものと思われる。従来この分野に於ける研究例として K. Marguerre の縦筋を持つ單一板の略近的手法による解析(1952), 全称的な問題に関する K. Stieglat の有限階差法による詳細な解析(1963, 1965), E. Rose の有限巾丁筋に関する近似解法(1965), 問題はや異なが M. Reise, M. Yitzhak 等の短い折板構造に関する解析(1965)等が挙げられる。本文では板と板、又は板とはりの種々の合成方式或いはその連続形によって構成される構造の立体解析を行う場合の解式を容易に得ることの出来る基本式とその組合せを求めて。そのためにまず図-1 に示すような板と板とを偏心合成せし条件を手に入れる諸式を導き更にその簡略化された形で板とはりとの2種類の偏心合成の条件式を求める。解析は断面の平面保持の仮定のもとに Fourier 級数を用いて厳密に行なった。なお応用例として張出部の合成を考慮した張出床板橋の解法を示した。

2. 板と板との偏心合成

2-1 板の Scheibe 応力 ($\sigma_x, \sigma_y, \tau_{xy}$), 歪 (ϵ_x, ϵ_y), 面内変形 (u_x, v_y) :

図-1 に示すような偏心合成板のパネル $i-1$ と i に着目する。応力関数 ϕ_i を導入して適合条件式ならびに ϕ_i の一般形は(1)(2) で示され。

$$\Delta^4 \phi_i = 0 \quad (1)$$

$$\phi_i = \sum_m \frac{1}{\alpha_m^2} (A_{mi} \sinh \alpha_m y + B_{mi} \cosh \alpha_m y + C_{mi} \alpha_m y \sinh \alpha_m y + D_{mi} \alpha_m y \cosh \alpha_m y) \sinh \alpha_m x$$

$$+ \sum_n \frac{1}{\beta_n^2} (A'_{ni} \sinh \beta_n x + B'_{ni} \cosh \beta_n x + C'_{ni} \beta_n x \sinh \beta_n x + D'_{ni} \beta_n x \cosh \beta_n x) \sinh \beta_n y \quad (2)$$

$\Rightarrow \sigma_x = \frac{\partial \phi_i}{\partial y}, \sigma_y = \frac{\partial \phi_i}{\partial x}, \tau_{xy} = -\frac{\partial^2 \phi_i}{\partial x \partial y}, \epsilon_x = \frac{1}{E} (\sigma_x - \nu \sigma_y), \epsilon_y = \frac{1}{E} (\sigma_y - \nu \sigma_x) \quad (3)$

$$u_{xi} = \int \epsilon_{xi} dx - Cy + u_0, \quad v_{yi} = \int \epsilon_{yi} dy + Cx + v_0 \quad (4)$$

ただし $-C_1 + u_0, C_1 + v_0$ は構造全体の変形適合により定まる剛体変形, ν : ポアソン比

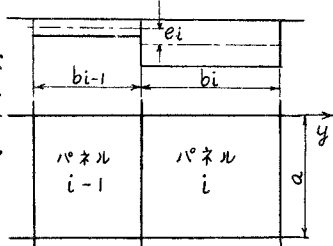
2-2 板の曲げによるたわみ W 断面力モーメント M_x, M_y, M_{xy} 及ん断力 Q_x, Q_y 換算せん断力 T_x, T_y 歪 (ϵ_x, ϵ_y) 面内変形 (u_x, v_y) : 本文に於ては種々の立体構造に応用するため隅点でのたわみが 0, 他周辺では任意のたわみを生じ得る形を採用する。釣合条件式ならびににのみの一般形は(6),(7)で示され、又断面力歪、面内変形は(8)~(12)の各式から求まる。

$$\Delta^4 w_i = \frac{P_i(x)}{D_i} \quad (6) \quad w_i = \sum_m (A_{mi} \sinh \alpha_m y + B_{mi} \cosh \alpha_m y + C_{mi} \alpha_m y \sinh \alpha_m y + D_{mi} \alpha_m y \cosh \alpha_m y) \sinh \alpha_m x$$

$$+ \sum_n (A'_{ni} \sinh \beta_n x + B'_{ni} \cosh \beta_n x + C'_{ni} \beta_n x \sinh \beta_n x + D'_{ni} \beta_n x \cosh \beta_n x) \sinh \beta_n y \quad (7)$$

$$M_{xi} = -D_i \left(\frac{\partial^2 w_i}{\partial x^2} + 1 - \frac{\partial^2 w_i}{\partial y^2} \right), \quad M_{yi} = -D_i \left(\frac{\partial^2 w_i}{\partial y^2} + 1 - \frac{\partial^2 w_i}{\partial x^2} \right), \quad M_{xy} = -D_i (1-\nu) \frac{\partial^2 w_i}{\partial x \partial y} \quad (8) \quad Q_{xi} = -D_i \left(\frac{\partial^3 w_i}{\partial x^3} + \frac{\partial^3 w_i}{\partial x^2 \partial y} \right), \quad Q_{yi} = -D_i \left(\frac{\partial^3 w_i}{\partial y^3} + \frac{\partial^3 w_i}{\partial x \partial y^2} \right) \quad (9)$$

$$T_{xi} = -D_i \left[\frac{\partial^2 w_i}{\partial x^2} + (2-\nu) \frac{\partial^2 w_i}{\partial x \partial y} \right], \quad T_{yi} = -D_i \left[\frac{\partial^2 w_i}{\partial y^2} + (2-\nu) \frac{\partial^2 w_i}{\partial x \partial y} \right] \quad (10) \quad \epsilon_{xi} = -Z_i \frac{\partial^2 w_i}{\partial x^2}, \quad \epsilon_{yi} = -Z_i \frac{\partial^2 w_i}{\partial y^2} \quad (11) \quad u_x = Z_i \frac{\partial w_i}{\partial x}, \quad v_y = Z_i \frac{\partial w_i}{\partial y} \quad (12)$$



たゞレ D_i = 板 i の曲げ剛度 ($\frac{Eh^3}{12(1-\nu^2)}$, h : 板厚) $P_{i(x,y)}$: 荷重函数

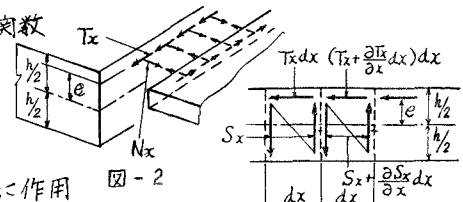
2-3 偏心水平せん断力及び軸力の換算:

図-2に示すように接合面に於て中立線から e だけ偏

倚して作用する水平せん断力 T_x 及び軸力 N_x が板の

境界に及ぼす作用を図-3に示すように中立面の縁辺に作用

中心を持つ水平せん断力、軸力、曲げモーメント、換算せん断力に置換する。



2-4 板の周辺に於ける拘束力、ならびに歪変形の基本式:

図-4を参照して板の周辺に於ける拘束力、歪変形をFourier級数に

展開し、隣接板との接合面に於ける合成条件を容易に得るために

基本式を導く。こゝでは紙面の都合で x 軸に平行な相対辺 $y=0$

$y=b_i$ の諸式を記載するが他の2辺の諸式も全様に求まる。

パネル i の板の上記各辺の拘束力($N_{xi}, T_{xi}, M_{xi}, T_{yi}, N_{yi}, T_{zi}, M_{zi}, T_{zy}$)

歪($\varepsilon_{xi}, \varepsilon_{zi}$)、変形($u_{xi}, \theta_{xi}, v_{xi}, w_{xi}, \theta_{yi}, v_{yi}$)を次のよう に表すはす

$$N_{xi} = \sum_m N_{mi} \sin dm\chi, \quad N_{yi} = \sum_m N_{mi}' \sin dm\chi \quad (13)$$

$$T_{xi} = \sum_m T_{mi} \cos dm\chi, \quad T_{xi}' = \sum_m T_{mi}' \cos dm\chi \quad (14)$$

$$M_{xi} = \sum_m M_{mi} \sin dm\chi, \quad M_{yi} = \sum_m M_{mi}' \sin dm\chi \quad (15)$$

$$T_{yi} = \sum_m T_{mi} \sin dm\chi, \quad V_{yi} = \sum_m T_{mi}' \sin dm\chi \quad (16)$$

$$\theta_{xi} = \sum_m \theta_{mi} \sin dm\chi, \quad \theta_{yi} = \sum_m \theta_{mi}' \sin dm\chi \quad (17)$$

$$\varepsilon_{xi} = \sum_m \varepsilon_{mi} \sin dm\chi, \quad \varepsilon_{zi} = \sum_m \varepsilon_{mi}' \sin dm\chi \quad (18)$$

$$V_{xi} = \sum_m V_{mi} \sin dm\chi, \quad V_{yi}' = \sum_m V_{mi}' \sin dm\chi \quad (19)$$

$$W_{xi} = \sum_m W_{mi} \sin dm\chi, \quad W_{yi}' = \sum_m W_{mi}' \sin dm\chi \quad (20)$$

式(2)~(5), (7)~(20)を用いて演算を行ない、式中に含まれるNon-Circular Functionを更に級数展開して周辺の任意度で成立つ関係式を導びきそれらを列挙すれば次の通りである。

$$-h_i B_{mi} = N_{mi} \quad (21) \quad -h_i F_{mi}(A_{mi}, B_{mi}, C_{mi}, D_{mi}) = N_{mi}' \quad (22)$$

$$-h_i(A_{mi} + D_{mi}) - h_i \sum_n G_{mn}(A'_i, B'_i, C'_i, D'_i) = T_{mi} \quad (23) \quad -h_i H_{mi}(A_{mi}, B_{mi}, C_{mi}, D_{mi}) - h_i \sum_n G_{mn}(A'_i, B'_i, C'_i, D'_i)' = T_{mi}' \quad (24)$$

$$-d_i^2 \{V_i B_{mi} + 2C_{mi}\} + \epsilon h_i B_{mi} = T_{mi} \quad (25) \quad -d_i^2 I_{mi}(A_{mi}, B_{mi}, C_{mi}, D_{mi}) + \epsilon h_i F_{mi}(A_{mi}, B_{mi}, C_{mi}, D_{mi}) = M_{mi}' \quad (26)$$

$$\frac{16}{\pi^2} \sum_n L_{mn}(B_{ni}^2 + (1+\nu_i) d_{ni}) L_{mn} - d_i^3 f(V_i, A_{mi} + D_{mi}) + \sum_n \beta_{ni}^3 J_{mn}(A_{ni}, B'_{ni}, C'_{ni}, D'_{ni}) - \epsilon h_i d_{ni}(A_{mi} + D_{mi}) - \epsilon h_i d_{ni} \sum_n G_{mn}(A'_i, B'_i, C'_i, D'_i) = V_{mi} \quad (27)$$

$$\frac{16}{\pi^2} \sum_n (-1)^n L_{mn} (B_{ni}^2 + (1+\nu_i) d_{ni}) L_{mn} - d_i^3 K_{mn}(A_{ni}, B_{ni}, C_{ni}, D_{ni}) + \sum_n (-1)^n \beta_{ni}^3 J_{mn}(A'_i, B'_i, C'_i, D'_i) - \epsilon h_i d_{ni} H_{mi}(A_{mi}, B_{mi}, C_{mi}, D_{mi})$$

$$- \epsilon h_i d_{ni} \sum_n (-1)^n G_{mn}(A'_i, B'_i, C'_i, D'_i) = V_{mi}' \quad (28)$$

$$\frac{1}{D_i} \bar{B}_{mi} = W_{mi} \quad (29) \quad \frac{1}{D_i} F_{mi}(A_{mi}, \bar{B}_{mi}, \bar{C}_{mi}, \bar{D}_{mi}) = W_{mi}' \quad (30)$$

$$\frac{1}{D_i} \left[\frac{16}{\pi^2} \sum_n L_{mn} L_{mn} + d_{ni} (A_{ni} + D_{ni}) + \sum_n \beta_{ni} R_{mn}(A'_i, B'_i, C'_i, D'_i) \right] = \theta_{mi} \quad (31)$$

$$\frac{1}{D_i} \left[\frac{16}{\pi^2} \sum_n (-1)^n L_{mn} L_{mn} + \epsilon h_i H_{mi}(A_{mi}, \bar{B}_{mi}, \bar{C}_{mi}, \bar{D}_{mi}) + \sum_n (-1)^n \beta_{ni} R_{mn}(A'_i, B'_i, C'_i, D'_i) \right] = \theta_{mi}' \quad (32)$$

$$\frac{1}{E} (\nu_i B_{mi} + 2C_{mi}) + \frac{Z_i}{D_i} d_i^2 \bar{B}_{mi} = \varepsilon_{mi} \quad (33) \quad \frac{1}{E} I_{mi}(A_{mi}, B_{mi}, C_{mi}, D_{mi}, \nu_i) + \frac{Z_i}{D_i} d_i^2 F_{mi}(A_{mi}, \bar{B}_{mi}, \bar{C}_{mi}, \bar{D}_{mi}) = \varepsilon_{mi}' \quad (34)$$

$$- \frac{1}{E} \left[\frac{1}{D_i} (\nu_i A_{mi} - \nu_i D_{mi}) + \sum_n Q_{mn}(A'_{ni}, B'_{ni}, C'_{ni}, D'_{ni}) \right] + \frac{Z_i}{D_i} \left[\frac{16}{\pi^2} \sum_n L_{mn} L_{mn} + d_{ni} (A_{ni} + D_{ni}) + \sum_n \beta_{ni} R_{mn}(A'_i, B'_i, C'_i, D'_i) \right] = V_{mi} \quad (35)$$

$$- \frac{1}{E} \left[\frac{1}{D_i} K_{mi}(A_{mi}, B_{mi}, C_{mi}, D_{mi}, \nu_i) + \sum_n (-1)^n Q_{mn}(A'_i, B'_i, C'_i, D'_i) \right] + \frac{Z_i}{D_i} \left[\frac{16}{\pi^2} \sum_n (-1)^n L_{mn} L_{mn} + d_{ni} H_{mi}(A_{ni}, \bar{B}_{ni}, \bar{C}_{ni}, \bar{D}_{ni}) \right]$$

$$+ \sum_n (-1)^n \beta_{ni} R_{mn}(A'_i, B'_i, C'_i, D'_i) \right] = V_{mi}' \quad (36)$$

たゞレ $F_{mi} = A_{mi} \sinh Y_{mi} + B_{mi} \cosh Y_{mi} + C_{mi} \sinh Y_{mi} + D_{mi} \cosh Y_{mi}$

$$G_{mn} = \frac{2}{a} \sum_n \frac{\beta_{ni}}{\alpha_{mi}^2 + \beta_{ni}^2} \left[A'_i (-1)^n \sinh Y_{ni} + (-1)^n \cosh Y_{ni} - 1 \right] B'_{ni} + C'_i \left[(-1)^n \sinh Y_{ni} + (-1)^n \cosh Y_{ni} - 1 \right] \frac{2d_i^2}{\alpha_{mi}^2 + \beta_{ni}^2} + (-1)^m \left[\beta_{ni} \cosh Y_{ni} + \sinh Y_{ni} \right] \frac{2d_i^2}{\alpha_{mi}^2 + \beta_{ni}^2} D'_{ni}$$

$$H_{mi} = A_{mi} \cosh Y_{mi} + B_{mi} \sinh Y_{mi} + C_{mi} (\sinh Y_{mi} + Y_{mi} \cosh Y_{mi}) + D_{mi} (\cosh Y_{mi} + Y_{mi} \sinh Y_{mi})$$

$$I_{mi} = \nu_i A_{mi} \sinh Y_{mi} + \nu_i \bar{B}_{mi} \cosh Y_{mi} + (2 \cosh Y_{mi} + Y_{mi} \sinh Y_{mi}) \bar{C}_{mi} + (2 \sinh Y_{mi} + Y_{mi} \cosh Y_{mi}) \bar{D}_{mi}$$

$$J_{mn} = \frac{2}{a} \frac{\alpha_{mi}}{\alpha_{mi}^2 + \beta_{ni}^2} \left[\nu_i (-1)^n A'_i \sinh Y_{ni} + \nu_i \left\{ (-1)^n \cosh Y_{ni} - 1 \right\} B'_{ni} + \left\{ \nu_i (-1)^n Y_{ni} \sinh Y_{ni} + 2\nu_i \left\{ (-1)^n \cosh Y_{ni} - 1 \right\} Y_{ni} - \frac{\beta_{ni}}{\alpha_{mi}^2 + \beta_{ni}^2} \right\} C'_{ni} \right]$$

$$+ [V_1(-1)^m Y_{ni} \cosh Y_{ni} + 2V_1(-1)^m \sinh Y_{ni} \times \left(\frac{1+\nu_1}{\nu_1} - \frac{\beta_{ni}^2}{\alpha_m^2 + \beta_{ni}^2} \right) D_{ni}'] \\ K_{nni} = -V_1 \bar{A}_{ni} \cosh Y_{ni} - V_1 \bar{B}_{ni} \sinh Y_{ni} + \{-V_1(Y_{ni} \cosh Y_{ni} - \sinh Y_{ni}) + 2V \sinh Y_{ni}\} \bar{C}_{ni} + \{-V_1(Y_{ni} \sinh Y_{ni} - \cosh Y_{ni}) + 2V \cosh Y_{ni}\} \bar{D}_{ni} \\ Q_{nni} = \frac{2}{\alpha} \frac{\alpha_m}{\beta_{ni}(\alpha_m^2 + \beta_{ni}^2)} \left[-V_2(-1)^m \sinh Y_{ni} A_{ni} - V_2(-1)^m \cosh Y_{ni} - 1 \right] B_{ni} + \left[-V_2(-1)^m Y_{ni} \sinh Y_{ni} - 2V_2(-1)^m \cosh Y_{ni} - 1 \right] C_{ni} \\ \times \left(\frac{1}{V_2} - \frac{\beta_{ni}^2}{\alpha_m^2 + \beta_{ni}^2} \right) D_{ni} + \left[-V_2(-1)^m Y_{ni} \cosh Y_{ni} - 2V_2(-1)^m \sinh Y_{ni} \left(\frac{1}{V_2} - \frac{\beta_{ni}^2}{\alpha_m^2 + \beta_{ni}^2} \right) D_{ni} \right] D_{ni}' \\ R_{nni} = \frac{2}{\alpha} \frac{-\alpha_m}{\alpha_m^2 + \beta_{ni}^2} \left[A_{ni}'(-1)^m \sinh Y_{ni} + \bar{B}_{ni}'(-1)^m \cosh Y_{ni} - 1 \right] + \left[(-1)^m Y_{ni}' \sinh Y_{ni} - \frac{2\beta_{ni}^2}{\alpha_m^2 + \beta_{ni}^2} (-1)^m \cosh Y_{ni} - 1 \right] C_{ni}' \\ + \left[(-1)^m Y_{ni}' \cosh Y_{ni} - \frac{2\beta_{ni}^2}{\alpha_m^2 + \beta_{ni}^2} (-1)^m \sinh Y_{ni}' \right] D_{ni}'$$

$F_{ni}(\bar{A}_{ni}, \bar{B}_{ni}, \bar{C}_{ni}, \bar{D}_{ni})$: $F_{ni}(A_{ni}, B_{ni}, C_{ni}, D_{ni})$ の式中に含まれる各積分常数 $A_{ni}, B_{ni}, C_{ni}, D_{ni}$ を $\bar{A}_{ni}, \bar{B}_{ni}, \bar{C}_{ni}, \bar{D}_{ni}$ に置き換えたもの。

$H_{ni}(\bar{A}_{ni}, \bar{B}_{ni}, \bar{C}_{ni}, \bar{D}_{ni})$: 全上 $H_{ni}(A_{ni}, B_{ni}, C_{ni}, D_{ni})$ の置換式

$I_{ni}(A_{ni}, B_{ni}, C_{ni}, D_{ni}, V_2)$: $I_{ni}(\bar{A}_{ni}, \bar{B}_{ni}, \bar{C}_{ni}, \bar{D}_{ni}, V_2)$ の式中に含まれる各積分常数 $A_{ni}, B_{ni}, C_{ni}, D_{ni}$ 及び V_2 を $A_{ni}, B_{ni}, C_{ni}, D_{ni}$ 及び V_2 に入れ換えたもの

$K_{ni}(A_{ni}, B_{ni}, C_{ni}, D_{ni}, V_2)$: 全上 $K_{ni}(\bar{A}_{ni}, \bar{B}_{ni}, \bar{C}_{ni}, \bar{D}_{ni}, V_2)$ の置換式

L_{ni} : 荷重の展開係数 = $f_0 \sin \theta_{ni} \cos \theta_{ni} \sin \alpha_{ni} \sin \beta_{ni} \sin \gamma_{ni}$: 一般形は荷重中心が (x_0, y_0) における強度 f_0 分布面積 $2L \times 2V$ の矩形等分布荷重で与えられるが、設計上必要な荷重に応じて書き換えることが出来る。

$$\text{又, } \lambda_{ni} = \frac{b_i}{a}, \quad \gamma_{ni} = \lambda_{ni} \pi, \quad \gamma_{ni}' = \frac{n \pi}{\lambda_{ni}}, \quad \nu_1 = 1 - V, \quad \nu_2 = 1 + V$$

2-5. 板と板との偏心合成の条件：角び、図-1を参照してパネル $i-1$ と i の間の接合辺を取り出しあの合成の条件を示す。条件式は 2-4 で求めた基本式を用いて容易に組立てることが出来る。

(1) 軸力の連続； $N_{ni} = N'_{ni-1}$ (37) (2) 水平せん断力の連続； $T_{ni,i} = T'_{ni,i-1}$ (38)

(3) 曲げモーメントの連続； $M_{ni,i} = M'_{ni,i-1}$ ($e_{i-1} = 0$) (板 $i-1$ には偏心曲げモーメントは作用しない) (39)

(4) 換算せん断力の連続； $V_{ni,i} = V'_{ni,i-1}$ ($e_{i-1} = 0$) (板 $i-1$ には偏心による換算せん断力は作用しない) (40)

(5) たわみの連続条件； $W_{ni} = W'_{ni-1}$ (41) (6) たわみ角の連続条件； $\theta_{ni} = \theta'_{ni,i-1}$ (42)

(7) x 方向歪の連続条件； 図-5 に示すように接合面内で歪が一致する条件は $\varepsilon_{ni}(Z_i = -e_i) = \varepsilon'_{ni,i-1}(Z_{i-1} = 0)$ (43)

(8) y 方向変形の連続条件； (7) と全く同じ接合面内で変形が連続する条件は $U_{ni}(Z_i = -e_i) = U'_{ni,i-1}(Z_{i-1} = 0)$ (44)

3. 板と板との偏心合成

2-4 で求めた板に対する基本式と図-7 に示

すようなはりの条件に対する基本式を求めて 2

の板と板に対する場合より簡略化された形で板

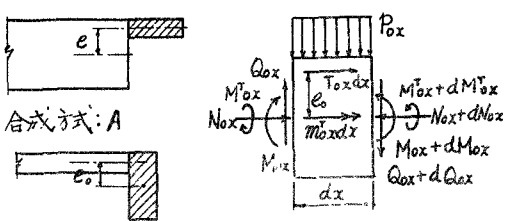
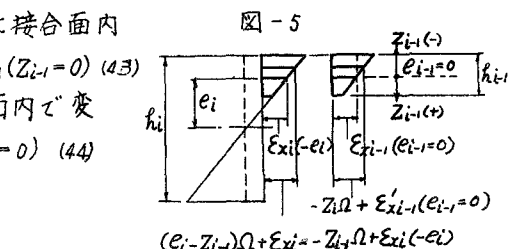
と板との合成条件を求めることが出来る。基本

式の組合せの方法により図-6 に示すような 2 種類の合成方式に対する条件式が得られる。図-7

の (1) の 断面力 及び 变形 は次の (43)~(46) 通りである。

$$\frac{dN_{ox}}{dx} = T_{ox} - (45) \quad EI_0 \frac{du_{ox}}{dx} = P_{ox} - e_0 \frac{dT_{ox}}{dx} - (46)$$

$$M_{ox} = J_0 \frac{d^2 u_{ox}}{dx^2} \quad (47) \quad \varepsilon_{ox} = -Z_0 \frac{d^2 u_{ox}}{dx^2} - \frac{N_{ox}}{EA_0} \quad (48)$$



たゞし、 EI_o = はりの曲げ剛度、 A_o = はりの断面積、 J_o = はりのねじり剛性係数、 φ = はりのねじり角。である。断面力及び変形の連続条件によって図-6に示すような2種類の合成方式[A, B]に対して次のようないくつかの合成条件式が得られる。

[合成方式:A] (1) $N_{mi} = 0$ (49) 主床板と張出部(はりと考えてよい場合)と接合辺に於てこれらと直角方向の張出部の面内拘束を無視したものである。

(2) $M_{mi}(e=0) = 0$ (50) 上と全称に張出部のねじり拘束を無視したものである。

$$(3) W_{mi} = \frac{1}{EI_o d_m^2} \left[\frac{V_{mi}}{dm} + \frac{1}{a} \{ C_o + (-1)^{m+1} C'_o \} \right] \quad (51) \text{たゞし} \quad \text{たゞみ及び} \text{反力の連続条件}$$

$$(4) \varepsilon_{mi}(z_i = -c) = -\frac{1}{EA_o d_m} \left[T_{mi} + \frac{\bar{C}_o}{a} \{ (-1)^{m+1} + 1 \} \right] \quad (52) \text{歪の連続条件}$$

たゞし C_o C'_o \bar{C}_o 等ははりの連続条件により定められ。

[合成方式:B] (1) $N_{mi} = 0$ (53) (2) $M_{mi}(e=0) = J_o d_m^2 \theta_{mi} + \frac{\bar{C}_o}{a} \{ (-1)^{m+1} + 1 \}$ —— (54)

$$(3) W_{mi} = \frac{1}{EI_o d_m^2} \left[\frac{V_{mi}(e=0) + C_o d_m T_{mi}}{dm} + \frac{1}{a} \{ C_o + (-1)^{m+1} C'_o \} \right] \quad (55)$$

$$(4) \varepsilon_{mi}(z_i = 0) = -e_o d_m^2 W_{mi} - \frac{1}{EA_o d_m} \left[T_{mi} + \frac{\bar{C}_o}{a} \{ (-1)^{m+1} + 1 \} \right] \quad (56)$$

4 応用例：応用例として張出部の合成を考慮した単純床板橋(図-8)の解析を示す。

4-1 荷重が主床板内にある場合：この場合には

張出床板をはりと考へ板とはりとの偏心合成法で解析する。合成方式はAである。今支承辺($x=0, z=a$)に於てたゞみ=0, Scheibe応力=0, と見做せば、変形断面力の一様式で $A'_n = B'_n = C'_n = D'_n = \bar{A}'_n = \bar{B}'_n = \bar{C}'_n = \bar{D}'_n = 0$, $C_o = C'_o = \bar{C}_o = 0$

又このようないくつかの単純な板では対称性を考慮すると便利である。基本となる対称性に関して次の関係を得る。

$$B_m = -\bar{F}_m A_m - \Lambda_m C_m \quad D_m = -\Delta_m C_m$$

$$\bar{B}_m = -\bar{F}_m \bar{A}_m - \bar{\Lambda}_m \bar{C}_m \quad \bar{D}_m = -\Delta_m \bar{C}_m$$

$$\delta_m = \operatorname{Coth} \lambda m \pi i + \operatorname{Coth} \lambda m \pi i, \quad \varepsilon_m = \operatorname{Coth} \lambda m \pi i - \operatorname{Cosech} \lambda m \pi i, \quad S_m = \lambda m \pi i \operatorname{Cosech} \lambda m \pi i,$$

$$\lambda = \frac{b}{a}, \quad \text{以上より未知の積分常数は } A_m, C_m, \bar{A}_m, \bar{C}_m \text{ の}$$

4個であり、3節[合成方式A]の(44)～(52)の各式から容易に定めることが出来る。すなわち

$$A_m = -\frac{\Lambda_m}{\bar{F}_m} C_m, \quad \bar{A}_m = \frac{1}{\bar{F}_m} \left(\frac{2}{1-\nu} - \Lambda_m \right) \bar{C}_m, \quad \bar{C}_m = -\frac{1}{2} \frac{\nu L_m}{w m^2} \frac{1-K^2}{K'^2} A^4, \quad C_m = \frac{32 (K')^2 \lambda \varphi_m}{\pi^4 (1-K) \{ \mu_m \bar{\delta}_m - m \omega \left(\frac{\Lambda_m + \Delta_m}{\bar{F}_m} \right) \}}$$

$$\text{たゞし } \mu_m = \pi^2 \left\{ \frac{2}{\bar{F}_m} + \nu_2 (\Delta_m + 2 \lambda \nu P K^2 m) - \nu \frac{\Lambda_m}{\bar{F}_m} \right\}, \quad \nu_2 = 2m\pi + \frac{1}{\lambda P} (\Delta_m + \frac{\Lambda_m}{\bar{F}_m}), \quad \varphi_m = \sum_n \frac{n^2 + (1+\nu) m^2 \nu^2}{m^2 (m^2 + n^2)^2} L_{mn}, \\ w = 6\nu_2 (1-K^2) \pi^3, \quad K = \frac{K'}{h}, \quad K' = \frac{a}{h}, \quad P = \frac{A'}{A} = \frac{b K'}{b h}.$$

4-2 荷重が張出部にある場合：この場合には張出部に局部的曲げを生ずるので板と板との偏心合成法で解析する。たゞし張出部の Scheibe Stress ははりと全称に考へる。今主板をし、張出部を*i-1*で表わし、支承辺に沿う張出部のたゞみを無視すれば前題同様

$$A'_{ni} = B'_{ni} = C'_{ni} = \bar{A}'_n = \bar{B}'_n = \bar{C}'_n = \bar{D}'_n = 0, \quad A_{mi-1} = B_{mi-1} = C_{mi-1} = D_{mi-1} = A'_{ni-1} = B'_{ni-1} = C'_{ni-1} = \bar{A}_{ni-1} = \bar{B}_{ni-1} = \bar{C}_{ni-1} = \bar{D}_{ni-1} = 0$$

又 $\bar{C}_o = 0$ 今主板に対称性を考慮した解式を用いれば未知の積分常数は $A_{mi}, C_{mi}, \bar{A}_{mi}, \bar{C}_{mi}, \bar{A}_{ni-1}, \bar{B}_{ni-1}, \bar{C}_{ni-1}, \bar{D}_{ni-1}$ の8個であり、張出部自由辺の条件及び接合辺の合成条件より定まる。

- 1) $M_{mi-1} = 0$
 - 2) $V_{mi-1} = 0$
 - 3) $N_{mi} = 0$
 - 4) $M_{mi} = M'_{mi-1}$
 - 5) $V_{mi} = V'_{mi} (e_{i-1} = 0)$
 - 6) $W_{mi} = W'_{mi-1}$
 - 7) $\Theta_{mi} = \Theta'_{mi-1}$
 - 8) $\varepsilon_{mi}(z_i = -c_i) = -\frac{1}{EA_o d_m} T_{mi}$
- の諸式が条件式となる。

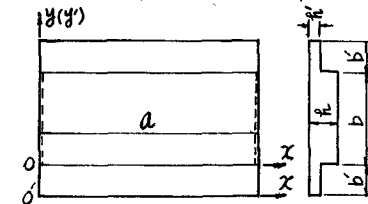


图-8

対称性	m	n	F_m	Δ_m	Λ_m
X方向正 Y方向正	1.3.5... ...oo	1.3.5... ...oo	δ_m	ε_m	ζ_m
X・Z 正 Y・Z 正	2.4.6... ...oo	1.3.5... ...oo	δ_m	ε_m	ζ_m
X・Z 正 Y・Z 負	1.3.5... ...oo	2.4.6... ...oo	ε_m	δ_m	$-\zeta_m$
X・Z 負 Y・Z 正	2.4.6... ...oo	2.4.6... ...oo	δ_m	ε_m	$-\zeta_m$